



# Bonamico (standard)

Scalabrelli G., D'Onofrio C., Ferroni G., 2015. Bonamico (standard). In: Italian Vitis Database, www.vitisdb.it, ISSN 2282-006X

release 08/06/2015, ultimo aggiorn. 16/07/2015 url <http://vitisdb.it/accessions/show/15659>

## Informazioni gestite da

Dipartimento di Scienze Agrarie, Alimentari e Agro-ambientali (DiSAAA-a) - Università di Pisa

## Informazioni generali

**nome** Bonamico (standard)  
**codice** ITA419-1267  
**nazione di selezione** Italia  
**regione di selezione** non disponibile  
**provincia di selezione** non disponibile  
**località di selezione** non disponibile  
**istituzione custode** Dipartimento di Scienze Agrarie, Alimentari e Agro-ambientali (DiSAAA-a) - Università di Pisa  
**collezione** Fattoria Poggio Gagliardo (LI)

## Varietà & clone

**tipo di origine** spontanea  
**genere** Vitis  
**specie** Vitis vinifera  
**sub specie** sativa  
**varietà** Bonamico  
**codice della varietà** IVD-var\_33  
**clone** non disponibile  
**trueness to type** accertato con rilievi morfologici e microsatelliti

## Trueness to type

### True-name

confermato **non disponibile**

### Trueness to type accertato con rilievi morfologici (ampelografici)

accertamento con rilievi morfologici (ampelografici) **accertato**

### ►bibliografia correlata (1)

| autori                       | anno | titolo   | rivista | citazione  |
|------------------------------|------|----------|---------|--|
| Breviglieri N., Messerini A. | 1960 | Bonamico |         | Ministero dell'Agricoltura e delle Foreste - Principali vitigni da vino coltivati in Italia - Volume I |

### Trueness to type accertato con microsatelliti

accertamento con microsatelliti **accertato**

### ►bibliografia correlata (1)

| autori   | anno | titolo   | rivista | citazione                    |
|--|------|--|---------|------------------------------|
| Torello Marinoni D., Raimondi S., Ruffa P., Lacombe T., Schneider A. | 2009 | Identification of grape cultivars from Liguria (north-western Italy) | Vitis   | Vitis 48 (4), 175-183 (2009) |

loci confrontati **6**

loci identici **6**

discrepanze **no - Confrontato con Torello-Marinoni et al., 2009**

## Profilo microsatellite standardizzato

| loci:       | loci predefiniti ( 9 ) |     |       |     |       |     |        |     |         |     |         |     |        |     |        |     |        |     |
|-------------|------------------------|-----|-------|-----|-------|-----|--------|-----|---------|-----|---------|-----|--------|-----|--------|-----|--------|-----|
|             | VVS2                   |     | VVMD5 |     | VVMD7 |     | VVMD27 |     | VrZAG62 |     | VrZAG79 |     | VVMD25 |     | VVMD28 |     | VVMD32 |     |
| allele:     | A1                     | A2  | A1    | A2  | A1    | A2  | A1     | A2  | A1      | A2  | A1      | A2  | A1     | A2  | A1     | A2  | A1     | A2  |
| dimensione: | 133                    | 135 | 225   | 227 | 253   | 263 | 183    | 185 | 200     | 202 | 239     | 245 | 242    | 256 | 237    | 239 | 251    | 253 |

## Immagini



germoglio



germoglio pagina superiore



germoglio pagina inferiore



foglia



foglia pagina superiore



foglia pagina inferiore



seno peziolare



grappolo






acino



vinacciolo

## Ampelografia

| OIV | descrizione   | valore |                             | immagini |
|-----|---|--------|-----------------------------|----------|
|     |   |        |                             |          |
| 001 | Giovane germoglio: apertura dell'apice  | 3      | semi-aperto                 |          |
| 003 | Giovane germoglio: intensità della pigmentazione antocianica dei peli striscianti dell'apice            | 1 / 3  | nulla o molto bassa / bassa |          |
| 004 | Giovane germoglio: densità dei peli striscianti dell'apice  | 5 / 7  | media / elevata             |          |
| 006 | Germoglio: portamento (prima della legatura)  | 7      | semi-ricadente              |          |
| 007 | Germoglio: colore del lato dorsale degli internodi  | 2      | verde e rosso               |          |
| 008 | Germoglio: colore del lato ventrale degli internodi   | 1      | verde                       |          |
| 016 | Germoglio: numero di viticci consecutivi  | 1      | 2 o meno                    |          |
| 051 | Foglia giovane: colore della pagina superiore del lembo (4 a foglia)                                    | 4      | ramato - rosso              |          |
| 053 | Foglia giovane: densità peli striscianti tra le nervature principali della pagina inferiore (4a foglia) | 7      | elevata                     |          |
| 067 | Foglia adulta: forma del lembo  | 4      | orbicolare                  |          |
| 068 | Foglia adulta: numero dei lobi  | 1      | uno (foglia intera)         |          |
| 070 | Foglia adulta: distribuzione pigmentazione antocianica nervature principali pagina superiore            | 3      | fino alla 1a biforcazione   |          |
| 072 | Foglia adulta: depressioni del lembo  | 1      | assenti o molto deboli      |          |
| 074 | Foglia adulta: profilo del lembo in sezione trasversale   | 3 / 5  | involutu / contorto         |          |

|       |  |       |   |   |
|-------|--|-------|---|---|
| 075   | Foglia adulta: bollosità della pagina superiore del lembo  | 7     | elevata   |    |
| 076   | Foglia adulta: forma dei denti   | 3     | entrambi i lati convessi  |   |
| 079   | Foglia adulta: grado di apertura / sovrapposizione dei bordi del seno peziolare                          | 7     | sovrapposto   |   |
| 080   | Foglia adulta: forma della base del seno peziolare   | 3     | a V   |   |
| 081-1 | Foglia adulta: denti del seno peziolare  | 1     | assenti   |   |
| 081-2 | Foglia adulta: base del seno peziolare delimitata dalla nervatura  | 1     | non delimitata  |   |
| 083-2 | Foglia adulta: denti nei seni laterali superiori   | 1     | assenti   |   |
| 084   | Foglia adulta: densità dei peli striscianti tra le nervature principali sulla pagina inferiore del lembo | 5     | media   |   |
| 087   | Foglia adulta: densità dei peli eretti sulle nervature principali della pagina inferiore del lembo       | 3     | bassa   |   |
| 094   | Foglia adulta: profondità dei seni laterali superiori  | 1     | assente o molto poco profondo                                     |   |
| 151   | Fiore: organi sessuali   | 3     | stami completamente sviluppati e gineceo completamente sviluppato |   |
| 152   | Infiorescenza: livello d'inserzione della 1 a infiorescenza  | 2     | 3° e 4° nodo  |   |
| 202   | Grappolo: lunghezza (escluso il peduncolo)   | 9     | molto lungo   |   |
| 204   | Grappolo: compattezza  | 3     | spargolo  |   |
| 206   | Grappolo: lunghezza del peduncolo del grappolo principale  | 7     | lungo   |   |
| 208   | Grappolo: forma  | 1     | cilindrico  |  |
| 209   | Grappolo: numero di ali del grappolo principale  | 2     | 1 - 2 ali   |   |
| 220   | Acino: lunghezza   | 3 / 5 | corto / medio   |   |
| 221   | Acino: larghezza   | 5     | medio   |   |
| 223   | Acino: forma   | 1     | sferoidale schiacciato ai poli                                    |   |
| 225   | Acino: colore della buccia   | 5     | rosso scuro violetto  |   |
| 231   | Acino: intensità della pigmentazione antocianica della polpa   | 1     | nulla o molto debole  |   |
| 235   | Acino: consistenza della polpa   | 1     | molle   |   |
| 236   | Acino: particolarità dell'aroma  | 1     | nessuna   |   |
| 241   | Acino: sviluppo dei vinaccioli   | 3     | completo  |   |

### Ampelometria

OIV

nessun descrittore presente per Bonamico (standard)

## Superampelo

| distanze   |         |                     |
|--|---------|---------------------|
| descrittore  | valore  | deviazione standard |
| Distanza dal seno peziolare al seno superiore sinistro         | 86.160  | 11.101              |
| Distanza dal seno peziolare al seno superiore destro           | 86.530  | 14.433              |
| Distanza dal seno peziolare al seno inferiore sinistro         | 68.560  | 7.490               |
| Distanza dal seno peziolare al seno inferiore destro           | 68.770  | 7.257               |
| Lunghezza della nervatura N5'                                  | 24.340  | 2.940               |
| Lunghezza della nervatura N5                                   | 23.920  | 6.877               |
| Nervatura N3', lunghezza dal seno peziolare alla nervatura N4' | 12.410  | 1.816               |
| Nervatura N3, lunghezza dal seno peziolare alla nervatura N4   | 12.770  | 2.072               |
| Lunghezza della foglia   | 192.740 | 12.235              |
| Larghezza della foglia   | 178.650 | 13.865              |
| Lunghezza della nervatura N4'                                  | 51.950  | 3.834               |
| Lunghezza della nervatura N4                                   | 50.120  | 4.644               |
| Lunghezza della nervatura N1                                   | 135.690 | 11.083              |
| Distanza tra gli estremi delle nervature N2 e N2'              | 173.840 | 16.781              |
| Lunghezza della foglia compreso il picciolo                    | 236.150 | 14.826              |
| Lunghezza del picciolo   | 100.460 | 7.753               |
| Larghezza del seno peziolare / Distanza tra i punti SP e SP'   | -6.540  | 2.503               |
| Lunghezza della nervatura N2                                   | 114.590 | 5.017               |
| Distanza tra gli estremi delle nervature N3 e N3'              | 159.680 | 12.056              |
| Distanza tra gli estremi delle nervature N4 e N4'              | 49.120  | 12.024              |
| Lunghezza della nervatura N3'                                  | 83.300  | 6.187               |
| Lunghezza della nervatura N2'                                  | 115.682 | 8.862               |
| Lunghezza della nervatura N3                                   | 83.370  | 6.211               |

| angoli   |         |                     |
|--|---------|---------------------|
| descrittore  | valore  | deviazione standard |
| Angolo tra N2' e N3' misurato agli estremi delle nervature | 56.480  | 4.154               |
| Angolo tra N3 e N4 misurato agli estremi delle nervature   | 50.700  | 4.651               |
| Angolo tra N1 e N2' misurato agli estremi delle nervature  | 45.960  | 5.589               |
| Angolo tra N2 e N3 misurato agli estremi delle nervature   | 55.640  | 7.116               |
| Angolo tra D e D' con centro in N1                         | 109.110 | 15.442              |
| Angolo tra S e S' con centro in N1                         | 76.150  | 15.777              |
| Angolo tra N3' e N4' misurato agli estremi delle nervature | 49.690  | 5.393               |
| Angolo di apertura del seno peziolare misurato a SP e SP'  | 12.360  | 8.166               |
| Angolo tra I e I' con centro in N1                         | 51.210  | 5.535               |
| Angolo tra N1 e N2' misurato alla prima biforcazione       | 58.030  | 3.880               |
| Angolo tra N1 e N2 misurato alla prima biforcazione        | 57.740  | 5.116               |
| Angolo tra N2 e N3 misurato alla prima biforcazione        | 50.710  | 5.201               |
| Angolo tra N3' e N4'                                       | 68.790  | 7.769               |
| Angolo tra N1 e N2 misurato agli estremi delle nervature   | 52.410  | 7.406               |
| Angolo tra N2' e N3' misurato alla prima biforcazione      | 51.850  | 7.102               |
| Angolo tra N3 e N4 alla prima biforcazione di N3           | 68.970  | 4.164               |

| rapporti   |           |                     |
|--|-----------|---------------------|
| descrittore  | valore    | deviazione standard |
| Rapporto tra Lunghezza e larghezza della foglia  | 1.082     | 0.078               |
| Rapporto tra la lunghezza del picciolo OP e la lunghezza della nervatura N1  | 0.744     | 0.075               |
| Prodotto di Lunghezza e larghezza della foglia   | 34514.920 | 4324.850            |
| Rapporto tra la distanza dal seno peziolare al seno inferiore destro OI e la lunghezza della nervatura N3  | 0.825     | 0.068               |
| Rapporto tra la distanza dal seno peziolare al seno inferiore sinistro OI' e la lunghezza della nervatura N3'  | 0.822     | 0.052               |
| Rapporto tra la distanza dal seno la lunghezza della nervatura N2  | 0.754     | 0.115               |
| Rapporto tra la distanza dal seno peziolare la lunghezza della nervatura N2'   | 0.744     | 0.069               |
| Rapporto tra la lunghezza della nervatura N3 e la lunghezza della nervatura N1   | 0.619     | 0.081               |
| Rapporto tra la lunghezza della nervatura N2 e la lunghezza della nervatura N1   | 0.850     | 0.090               |
| Rapporto tra la lunghezza della nervatura N2' e la lunghezza della nervatura N1  | 0.855     | 0.067               |
| Rapporto tra l'altezza e la base del dente all'estremità della nervatura N4'   | 0.663     | 0.127               |
| Rapporto tra l'altezza e la base del dente all'estremità della nervatura N2  | 0.551     | 0.109               |
| Rapporto tra la somma degli angoli a' + b' e la somma della distanza tra il seno peziolare e il seno superiore sinistro OS' e il seno peziolare e il seno inferiore sinistro OI' | 109.870   | 7.985               |
| Rapporto tra l'altezza e la base del dente all'estremità della nervatura N4  | 0.608     | 0.176               |
| Rapporto tra l'altezza e la base del dente all'estremità della nervatura N2'   | 0.533     | 0.100               |
| Rapporto tra la lunghezza della nervatura N5 e la lunghezza della nervatura N1   | 0.177     | 0.056               |
| Rapporto tra la lunghezza della nervatura N4' e la lunghezza della nervatura N1  | 0.385     | 0.038               |
| Rapporto tra la somma degli angoli a + b e la somma della distanza tra il seno peziolare e il seno superiore destro OS e il seno peziolare e il seno inferiore destro OI         | 108.480   | 8.434               |
| Rapporto tra la lunghezza della nervatura N5' e la lunghezza della nervatura N1  | 0.181     | 0.031               |
| Rapporto tra la lunghezza della nervatura N4 e la lunghezza della nervatura N1   | 0.371     | 0.041               |
| Rapporto tra la lunghezza della nervatura N3' e la lunghezza della nervatura N1  | 0.617     | 0.065               |